

一种无平方根运算的 QRD-LSL 插值算法研究*

刘尚峰^{1,2}, 王永民¹, 许 华¹

(1. 空军工程大学 电讯工程学院, 西安 710077; 2. 空军雷达学院, 武汉 430019)

摘要: 为了降低基于 QR 分解技术的最小二乘格型 (QRD-LSL) 插值算法的计算复杂度, 提出一种无平方根运算的 QRD-LSL 插值算法, 并将其用于对直扩系统中窄带干扰的抑制。该算法通过将无平方根运算的 Givens 旋转变换代入原 QRD-LSL 插值算法, 避免了 QR 分解过程中的求平方根运算, 降低了计算复杂度及硬件实施难度, 提高了有限精度场合下算法的鲁棒性。仿真结果表明, 改进算法较 QRD-LSL 插值算法具有更小的稳态误差以及更好的数值稳健性, 并且保持了良好的 NBI 抑制效果。

关键词: 窄带干扰; 直扩系统; 矩阵分解

中图分类号: TP301.6 **文献标志码:** A **文章编号:** 1001-3695(2012)03-0897-03

doi: 10.3969/j.issn.1001-3695.2012.03.026

Research of QRD-LSL interpolation algorithm based on square-root-free

LIU Shang-feng^{1,2}, WANG Yong-min¹, XU Hua¹

(1. Telecommunication Engineering Institute, Air Force Engineering University, Xi'an 710077, China; 2. Air Force Rader Academy, Wuhan 430019, China)

Abstract: To reduce the complexity of the QR-decomposition-based least-squares lattices (QRD-LSL) interpolation algorithm used in narrow-band interference (NBI) suppression, this paper proposed a square-root-free (SRF) QRD-LSL interpolation algorithm. The proposed interpolation algorithm, which was developed by applying SRF Givens rotation with feedback mechanism, could effectively avoid the square-root computations in QR-decomposition and improve QRD-LSL interpolation algorithm robustness in finite precision environment. The results of computer simulation confirm that the steady-state performance and the numerical robustness of the proposed algorithm outperforms the conventional QRD-LSL interpolation algorithm and holds good performance of NBI suppression in DSSS.

Key words: narrow-band interference; direct sequence spread spectrum (DSSS); matrix decomposition

随着直扩通信系统 (DSSS) 应用的日益广泛, DSSS 中窄带干扰 (NBI) 抑制技术逐步发展并完善。常用的自适应时域滤波算法利用 DSSS 噪声和 NBI 信号间的相关特性差异, 从观测数据中估计其中的 NBI 成分, 再通过抵消以达到抑制 NBI 的目的。其中, 最小二乘格型 (least-square lattice, LSL) 插值算法由于具有稳态误差小、阶间递推无联动效应和数据样值相关性应用充分等优点, 受到了广泛关注^[1]。

文献[2,3]提出了一种基于正交三角 (quadrature right-triangle, QR) 分解的 LSL 插值算法, 即 QRD-LSL (QR-decomposition-based least-square lattice) 插值算法。其优点^[1]有: a) 避免了传统 LSL 预测和 LSL 插值结构复杂的滤波器权系数计算, 极大地降低了运算复杂度; b) 具有快速收敛性能; c) 在有限精度条件下, 比传统 LSL 插值滤波器具有更好的鲁棒性; d) 可以采用递推方式实现。随后, 文献[4]重点分析了 QRD-LSL 算法组合特征和对称特征对其抑制 DSSS 系统中 NBI 性能的影响, 给出了对称型 QRD-LSL 插值算法抑制 NBI 性能最优的结论。但是, 由于 QRD-LSL 插值算法在 QR 分解过程中用到了求根运算和正弦旋转因子, 这使得上述算法存在着以下两个问题: a) 复杂的求根运算成为了降低运算复杂度的瓶颈, 且求根运算不利于硬件实现; b) 由于正弦旋转因子 $c(n) \leq 1$, 所以算法

中对正弦旋转因子 $c(n)$ 的除法运算可能会增大误差, 从而限制了其在有限精度环境下的应用^[5]。

针对上述问题, 本文在原 QRD-LSL 插值算法基础上, 通过采用无平方根运算的基于 Givens 的 QR 分解, 提出了一种改进 QRD-LSL 插值算法。该算法在误差阶递推 QR 分解过程中, 将标准 Givens 旋转变换用无平方根运算的 Givens 旋转变换代替。一方面, 避免了复杂的求根运算, 有效降低了原插值算法的运算复杂度; 另一方面, 利用了递推反馈结构, 避免了原算法中对中间余弦旋转因子 $c_{i,N}(n)$ 的除法运算, 一定程度上提高了 QRD-LSL 算法在有限精度场合下的稳健性。

1 QRD-LSL 插值算法及其流程

假设采样序列 $\{x(i)\}$, $1 \leq i \leq n$, 当 $i < 0$ 时, $x(i) = 0$, $x(n)$ 为最近接收到的采样数据。(p, f) 阶 QRD-LSL 插值算法应用当前数据样值 $x(i-f)$ 相邻的前 p 个和后 f 个数据样值来估计 $x(i-f)$ 。它与传统 LSL 插值算法不同的是: 它根据 LSL 插值算法前、后级之间的无耦特性^[2], 将 LSL 插值滤波器产生的 f 个 (经时延的) 中间前向预测误差、p 个 (经时延的) 中间后向预测误差和插值误差构造观测数据子空间的正交基, 进而利用观测数据矢量与正交基的正交性, 得到当前数据样值 $x(i-f)$

收稿日期: 2011-07-02; 修回日期: 2011-08-13 基金项目: 国防科技重点实验室基金资助项目 (9140C0201010902)

作者简介: 刘尚峰 (1985-), 男, 陕西西安人, 硕士, 主要研究方向为信息对抗和信息安全 (14597903@qq.com); 王永民 (1973-), 男, 吉林梅河口人, 副教授, 硕士, 主要研究方向为军事通信抗干扰技术; 许华 (1976-), 男, 湖北宜昌人, 副教授, 主要研究方向为信号盲处理技术、解调技术。

的估计值。为叙述简单,现以(2,2)阶为例简要介绍,并令 $N = p + f$ 。图 1 所示为(2,2)阶 QRD-LSL 插值算法计算流程框图。

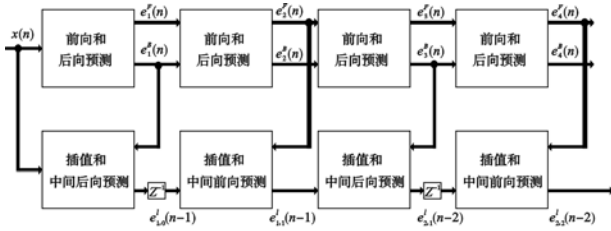


图1 (2,2)阶QRD-LSL插值算法计算流程框图(BFBF模式)

由图 1 可见,QRD-LSL 插值算法主要由前/后向预测器、中间前后向预测器和插值器组成。前/后向预测器生成前向预测误差 $e_m^F(n)$ 和后向预测误差 $e_m^B(n)$;中间前/后向预测器生成中间前向预测误差 $e_N^F(i, i - f)$ 和中间后向预测误差 $e_N^B(i, i - f)$;插值器完成前向插值误差 $e_{p,f+1}^I(n - f - 1)$ 或后向插值误差 $e_{p+1,f}^I(n - f)$ 的计算。每次迭代时,前/后向预测误差和中间前/后向预测误差需要全部计算出来,而前/后向插值误差则按照 QRD-LSL 插值算法所选用的正交基模式选择一个进行计算。

由于算法推导及流程均较长,限于篇幅,这里列出后向预测误差、中间后向预测误差的递推公式,详细过程见文献[2,5]。

第 m 阶 QRD-LSL 后向预测误差 $e_m^B(n)$ 的递推公式为

$$F_{m-1}(n) = \lambda F_{m-1}(n-1) + (e_{m-1}^B(n))^2 \quad (1)$$

$$c_{F,m-1}(n) = \lambda^{1/2} (F_{m-1}(n-1))^{1/2} / (F_{m-1}(n))^{1/2} \quad (2)$$

$$s_{F,m-1}(n) = e_{m-1}^B(n) / (F_{m-1}(n))^{1/2} \quad (3)$$

$$e_m^B = c_{F,m-1}(n) e_{m-1}^B(n-1) - \lambda^{1/2} s_{F,m-1}(n) \pi_{m-1}^B(n-1) \quad (4)$$

$$\pi_{m-1}^B(n) = \lambda^{1/2} c_{F,m-1}(n) \pi_{m-1}^B(n-1) + s_{F,m-1}(n) e_{m-1}^B(n-1) \quad (5)$$

式中: $c_{F,m-1}(n-1)$ 和 $s_{F,m-1}(n-1)$ 为后向余弦和正弦旋转因子; $F_{m-1}(n)$ 为计算旋转因子用到的中间变量; $\pi_{m-1}^B(n-1)$ 为辅助变量。

中间后向预测误差 $e_{N+1}^B(n, n - f)$ 的递推公式为

$$I_{p,f}(n - f) = \lambda I_{p,f}(n - f - 1) + (e_{p,f}^I(n - f))^2 \quad (6)$$

$$c_{I,N}(n) = \lambda^{1/2} I_{p,f}^{1/2}(n - f - 1) / I_{p,f}^{1/2}(n - f) \quad (7)$$

$$s_{I,N}(n) = e_{p,f}^I(n - f) / I_{p,f}^{1/2}(n - f) \quad (8)$$

$$e_{N+1}^B(n, n - f) = [e_{N+1}^B(n) + \lambda^{1/2} s_{I,N}(n) \rho_{N+1}^B(n - 1)] / c_{I,N}(n) \quad (9)$$

$$\rho_{N+1}^B(n) = [\lambda^{1/2} \rho_{N+1}^B(n - 1) + s_{I,N}(n) e_{N+1}^B(n)] / c_{I,N}(n) \quad (10)$$

式中: $s_{I,N}(n)$ 和 $c_{I,N}(n)$ 分别为中间后向正弦和余弦旋转参数; $I_{p,f}(n - f)$ 为计算旋转因子用到的中间变量; $\rho_{N+1}^B(n - 1)$ 为辅助变量。

2 改进的 QRD-LSL 插值算法

从算法流程可以看出^[2,5],QRD-LSL 插值算法在递推求解各类误差的过程中,采用的是基于 Givens 旋转的标准 QR 分解,如式(2)(3)(6)和(7),这种运算由于含有平方根运算,所以会消耗较多硬件资源或需要多次循环来实现^[6],不适合在实时处理且硬件资源有限的工程项目中使用。另外,在具体计算中间前/后向误差时,由于需要除以余弦旋转因子 $c_{I,N}(n)$,加之 $c_{I,N}(n)$ 本身满足 $|c_{I,N}(n)| \leq 1$,所以当 $c_{I,N}(n)$ 较小时,将会增大中间前/后向误差发散的可能性,特别是在有限精度场合, $c_{I,N}(n)$ 的值将会被进一步减小,降低了算法的数值稳健性,这就在一定程度上限制了其在工程上的应用。鉴于上述问题,本文介绍一种无平方根运算的基于 Givens 的 QR 分解。

2.1 无平方根运算的 Givens 旋转算法

假设标准 Givens 旋转变换如式(11)所示:

$$\begin{bmatrix} a'_1 & a'_2 & \dots & a'_m \\ 0 & b'_2 & \dots & b'_m \end{bmatrix} = \begin{bmatrix} c & s \\ -s & c \end{bmatrix} \begin{bmatrix} a_1 & a_2 & \dots & a_m \\ b_1 & b_2 & \dots & b_m \end{bmatrix} \quad (11)$$

式中实数 c 和 s 满足 $c^2 + s^2 = 1$ 。

对未经 Givens 变换和变换后的数据矩阵提取一个比例因子,即

$$\begin{bmatrix} a_1 & a_2 & \dots & a_m \\ b_1 & b_2 & \dots & b_m \end{bmatrix} = \begin{bmatrix} \sqrt{k_\alpha} & 0 \\ 0 & \sqrt{k_\beta} \end{bmatrix} \begin{bmatrix} \alpha_1 & \alpha_2 & \dots & \alpha_m \\ \beta_1 & \beta_2 & \dots & \beta_m \end{bmatrix} \quad (12a)$$

$$\begin{bmatrix} a'_1 & a'_2 & \dots & a'_m \\ 0 & b'_2 & \dots & b'_m \end{bmatrix} = \begin{bmatrix} \sqrt{k'_\alpha} & 0 \\ 0 & \sqrt{k'_\beta} \end{bmatrix} \begin{bmatrix} \alpha'_1 & \alpha'_2 & \dots & \alpha'_m \\ 0 & \beta'_2 & \dots & \beta'_m \end{bmatrix} \quad (12b)$$

式中: $k_\alpha, k_\beta, k'_\alpha, k'_\beta$ 分别为比例因子。需要指出的是, $\sqrt{k_\alpha}, \sqrt{k_\beta}, \sqrt{k'_\alpha}, \sqrt{k'_\beta}$ 仅仅为了算法表述方便,并不需要实际进行计算。若令

$$\alpha_1 = 1, \bar{c} = k_\alpha / k'_\alpha, \bar{s} = k_\beta b_1 / k'_\alpha \quad (13a)$$

则有^[7]

$$k'_\alpha = k_\alpha + k_\beta \bar{s}^2 \quad (13b)$$

$$\alpha'_j = \alpha_j + \bar{s} \beta'_j, j = 1, \dots, m \quad (13c)$$

$$\beta'_j = \beta_j - \beta_1 \alpha_j, j = 2, \dots, m \quad (13d)$$

式(13a) ~ (13d) 即为无平方根 Givens 变换算法。表 1 中给出了标准 Givens 变换与无平方根 Givens 变换的对应关系。

表 1 标准 Givens 变换与无平方根 Givens 变换

标准 Givens 变换	无平方根 Givens 变换	对应关系
$c = a_1 / a'_1$	$\bar{c} = k_\alpha / k'_\alpha$	$c = \sqrt{\bar{c}}$
$s = b_1 / a'_1$	$\bar{s} = k_\beta b_1 / k'_\alpha$	$s = \sqrt{\bar{s}}$
$(a'_1)^2 = a_1^2 + b_1^2$	$k'_\alpha = k_\alpha + k_\beta \bar{s}^2$	$k_\alpha = a_1^2$
	$k'_\beta = (k_\alpha k_\beta) / k'_\alpha$	$k'_\alpha = (a'_1)^2$
$a'_j = ca_j + sb_j$	$\alpha'_j = \alpha_j + \bar{s} \beta'_j$	$a_j \leftrightarrow \alpha_j$
$j = 1, \dots, m$	$j = 1, \dots, m$	$b_j \leftrightarrow \beta_j$
$b'_j = cb_j - sa_j$	$\beta'_j = \beta_j - \beta_1 \alpha_j$	$a'_j \leftrightarrow \alpha'_j$
$j = 2, \dots, m$	$j = 2, \dots, m$	$b'_j \leftrightarrow \beta'_j$

2.2 无平方根运算 QRD-LSL 插值算法

对照表 1 中标准 Givens 变换与无平方根 Givens 变换的关系可以发现,若取 $k_\beta = 1$,式(13b)中等式右边的两项因子与式(1)和(6)对应起来,直接代入即可替换原 Givens 变换。但是实际工程中,这种取值往往会影响到数值的稳定性,所以考虑将 k_β 作为反射因子保留,并令

$$k_\beta = \bar{c} k'_\beta \quad (14)$$

根据表 1 中给出的对应关系,对原算法中第 m 阶后向预测误差 $e_m^B(n)$ 的递推公式的 QR 分解过程进行替换,综合式(13a) ~ (13d)、式(14)和式(1) ~ (5),并分别令 $k_\alpha \triangleq \lambda F_{m-1}(n-1), k_F(n) \triangleq k_\beta, b_1 \triangleq e_{m-1}^B(n), \beta_j \triangleq e_m^B(n), \alpha'_j \triangleq \pi_{m-1}^B(n)$,代入式(1) ~ (5),可得替换后的第 m 阶后向预测误差 $e_m^B(n)$ 的递推公式为

$$F_{m-1}(n) = \lambda F_{m-1}(n-1) + k_F(n) (e_{m-1}^B(n))^2 \quad (15)$$

$$\bar{c}_{F,m-1}(n) = \lambda F_{m-1}(n-1) / F_{m-1}(n) \quad (16)$$

$$\bar{s}_{F,m-1}(n) = k_F(n) e_{m-1}^B(n) / F_{m-1}(n) \quad (17)$$

$$e_m^B(n) = e_{m-1}^B(n-1) - e_{m-1}^B(n) \pi_{m-1}^B(n-1) \quad (18)$$

$$\pi_{m-1}^B(n) = \pi_{m-1}^B(n-1) + \bar{s}_{F,m-1}(n) e_m^B(n) \quad (19)$$

$$k_F(n+1) = \bar{c}_{F,m-1}(n)k_F(n) \quad (20)$$

同理,替换后的中间后向预测误差 $e_{N+1}^B(n, n-f)$ 的递推公式为

$$I_{p,f}(n-f) = \lambda I_{p,f}(n-f-1) + k_{p,f,(n-f-1)}(e_{p,f}^I(n-f))^2 \quad (21)$$

$$\bar{c}_{I,N}(n) = \lambda I_{p,f}(n-f-1)/I_{p,f}(n-f) \quad (22)$$

$$\bar{s}_{I,N}(n) = k_{p,f,(n-f-1)}e_{p,f}^I(n-f)/I_{p,f}(n-f) \quad (23)$$

$$e_{N+1}^B(n, n-f) = e_{N+1}^B(n, n-f-2) + e_{p,f}^I(n-f)\rho_{N+1}^B(n-1) \quad (24)$$

$$\rho_{N+1}^B(n) = \rho_{N+1}^B(n-1) + \bar{s}_{I,N}(n-1)e_{N+1}^B(n, n-f) \quad (25)$$

$$k_{p,f,(n-f)} = \bar{c}_{I,N}(n)k_{p,f,(n-f-1)} \quad (26)$$

以上就是经过替换后的误差计算递推公式。可以看出,采用基于无平方根 Givens 变换的 QR 分解过程可避免标准 Givens 变换中的 $\sqrt{a_1^2 + b_1^2}$ 运算,并且保持较低的运算量。表 2 中给出了改进算法与原 QRD-LSL 插值算法的运算复杂度比较。

表 2 算法的运算复杂度比较

算法	乘法	平方根运算
QRD-LSL 插值	20N	N
改进算法	26N	0

从表 2 可以看出,改进算法较原算法,乘法操作多了 6N 次,增加了运算量,但是,由于没有复杂的求根运算,所以整体的运算复杂度较原算法有了一定程度的改进,确实达到了降低运算复杂度的目的。另外,将式(4)(5)、式(9)(10)分别与式(18)(19)(24)(25)比较后发现,无平方根的 Givens 变换算法采用了递推反馈结构实现,这将带来两个好处,一是工程中递推反馈结构往往能提高算法的鲁棒性;二是避免递推中间前/后向误差时对 $c_{I,N}(n)$ 的除法运算。

关于前/后向插值误差的替换,其方法与后向预测误差替换方法类似,只是增加了 $k_{p,f+1,(n-f-1)}$ 和 $k_{p+1,f,(n-f-1)}$ 两个反射因子及其递推公式,这里不再赘述。

3 算法仿真

为了验证本文算法的有效性,采用 MATLAB 7.0.1 对加有 NBI 的 DSSS 系统进行计算机仿真。仿真中,扩频码采用长度为 32 的 M 序列、自回归干扰建模方差为 0.01 的高斯白噪声 $n(k)$ 通过一个极点均为 0.99 的二阶 IIR 滤波器后所产生的输出。QRD-LSL 插值算法的 λ 和 δ 分别取 $\lambda = 0.99, \delta = 1$, 滤波器阶数为 (2, 2) 阶。改进算法的反射因子 $k_{p, k_{p,f,(n-f-1)}, k_{p,f+1,(n-f-1)}$ 以及 $k_{p+1,f,(n-f-1)}$ 初始值分别取为 1, 其他初始条件与原算法相同。

图 2 为有限精度场合(数据变量存储单位的容量为 8 bit)时,本文算法与 QRD-LSL, LSL 插值算法的学习曲线比较,其中干扰类型为自回归 NBI, 信干比为 -18 dB。由图 2 可见,无平方根 QRD-LSL 插值算法较前两种算法性能都有所提升,较 LSL 插值算法约有 4.5 dB 的性能提升,较 QRD-LSL 插值算法收敛速度基本相同,但稳态误差相对较小。另外,在整个学习过程中,无平方根 QRD-LSL 插值算法的学习曲线无明显畸变和波动现象发生,干扰抑制性能为三者中最优。

图 3 为有限计算精度场合无平方根 QRD-LSL 插值算法和 QRD-LSL 插值算法抑制自回归干扰的学习曲线。其中,前者的数据变量存储单位容量为 5 bit, 后者的存储容量分别为 12 bit 和 5 bit, 信干比为 -16 dB, 由图可见,无平方根 QRD-LSL 插值算法(5 bit)较相同精度的 QRD-LSL 插值算法在收敛速度和

误差性能上都有较大幅度提升,稳态误差均方性能约有 4 dB 的提升,而与高精度(12 bit)的 QRD-LSL 插值算法相比,收敛速度近似相等,稳态误差均方性能略有损失,约为 3 dB。这主要是因为改进算法中的无平方根运算以及反馈因子的共同作用,使得误差数值的波动性有所降低,同时还一定程度上加快了算法收敛速度。

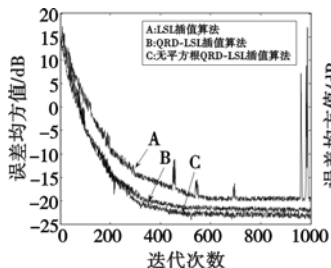


图2 有限精度场合三种算法的学习曲线

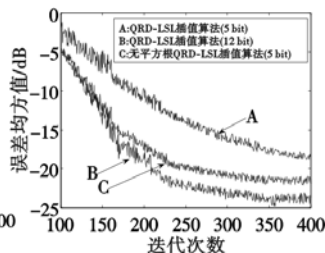


图3 不同计算精度场合算法的学习曲线

图 4 给出了无平方根 QRD-LSL 插值算法与 QRD-LSL 插值算法对自回归干扰的抑制效果,其中信干比变化范围为 -5 ~ -20 dB。从图 4 中可以看出,本文算法明显优于原算法。在不同信干比情况下,本文算法对信噪比改善量比原算法平均高出约 2 dB。

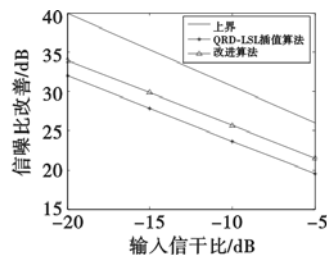


图4 自回归(AR)干扰抑制效果比较

4 结束语

本文提出一种改进的 QRD-LSL 插值算法,利用无平方根运算的 Givens 旋转变换对 QRD-LSL 插值算法进行了改进,降低了运算复杂度,提高了收敛速度。仿真结果验证了本文算法在降低系统运算复杂度的同时,保持了较小的稳态误差,并且在有限精度场合下具有较高的鲁棒性。

参考文献:

- [1] 郭黎利,殷复莲,卢满宏. DSSS/CDMA 系统窄带干扰抑制技术概述[J]. 电子学报, 2009, 37(10): 2248-2255.
- [2] YUAN J T. QR-decomposition-based least-squares lattice interpolator [J]. IEEE Trans on Signal Processing, 2000, 48(1): 70-79.
- [3] 孙志国,郭黎利,顾学迈. 一种具有窄带干扰抑制能力的改进型 LSL 插值算法[J]. 电路与系统学报, 2008, 13(3): 13-17.
- [4] 孙志国,郭黎利,顾学迈. QRD-LSL 插值算法内部特征对窄带干扰抑制性能的影响[J]. 电路与系统学报, 2008, 13(4): 144-148.
- [5] 孙志国. 直扩系统中窄带干扰自适应抑制算法的研究[D]. 哈尔滨: 哈尔滨工程大学, 2005: 69-80.
- [6] YUAN J T. A square-root-free QRD-LSL interpolation algorithm [C]//Proc of IEEE International Conference on Acoustics, Speech and Signal Processing. 2008: 3813-3816.
- [7] HSIEH S F, LIU K J R, YAO K. A unified square-root-free approach for QRD-based recursive least squares estimation [J]. IEEE Trans on Signal Processing, 1993, 41(3): 1405-1409.